

*Кинева Д.А., Долгий Ю.Ф., Сесекин А.Н., Таилыков О.Л.*

## **ОПТИМАЛЬНЫЙ ПО ВРЕМЕНИ АЛГОРИТМ НАВЕДЕНИЯ МЕХАНИЗМА ПЕРЕГРУЗКИ ЯДЕРНОГО ТОПЛИВА В РЕАКТОРАХ НА БЫСТРЫХ НЕЙТРОНАХ**

*Аннотация.* Предложен алгоритм оптимального по быстродействию механизма перегрузки ядерного топлива реактора на быстрых нейтронах БН-800. Применение такого алгоритма управления приведет к сокращению времени остановки реактора на перегрузку ядерного топлива.

*Ключевые слова:* оптимальное управление, механизм перегрузки, реактор БН-800.

*Abstract.* An algorithm for the speed-optimal mechanism for reloading the nuclear fuel of the BN-800 fast neutron reactor is proposed. The use of such a control algorithm will lead to a reduction in the shutdown time of the reactor for the refueling of nuclear fuel.

*Keywords:* optimal control, refueling mechanism, BN-800 reactor.

### **Введение**

Периодически в связи с выгоранием топлива в ядерных реакторах на АЭС осуществляется перегрузка ядерного топлива. В связи с тем, что на время перегрузки реактор останавливается (за исключением реакторов типа РБМК-1000 [1]), это ведет к недовыработке электроэнергии на АЭС. Поэтому необходимо сокращать время на перегрузки топлива. Задача минимизации суммарного времени перегрузки состоит в определении очередности перемещения тепловыделяющих сборок (ТВС). В качестве вспомогательной задачи возникает задача о минимизации времени перемещения захвата механизма перегрузки ТВС из одного заданного положения в другое. Используя результат последней задачи, мы можем определить для заданной очередности перемещений ТВС суммарное время на перегрузку ядерного топлива (оптимизируемый функционал) [2]. Это, в свою очередь, позволит решить маршрутную задачу оптимизации суммарного времени перегрузки ТВС.

Корпус реакторов на быстрых нейтронах представляет собой цилиндр, изготовленный из специальных нержавеющей сталей перлитного и аустенитного классов. Теплоотвод обеспечивается благодаря высокоэффективному теплоносителю – жидкому натрию. На горловине корпуса реактора установлен механизм перегрузки ядерного топлива. Чтобы выгрузить выгоревшую тепловыделяющую сборку из реактора, захват перегрузочной машины должен переместиться в точку с координатами, соответствующими местоположению ТВС. Затем захват опускается и зацепляет ТВС. После этого ТВС поднимается и

перемещается в заданное место В бассейн выдержки или на новое место). В обратном порядке происходит загрузка свежей ТВС. Время, затраченное на поднимание и опускание ТВС, зацепление и расцепление захвата можно не учитывать, так как оно в рассматриваемой задаче не минимизируется. Поэтому задачу можно рассматривать как плоскую задачу.

Особенность механизмов перегрузки ядерного топлива в реакторах на быстрых нейтронах БН-600 и БН-800 состоит в том, наведение механизма перегрузки на координаты топливной сборки, его перемещение в реакторе осуществляется в результате взаимного вращения двух (БН-600) или трех (БН-800) цилиндров, называемых поворотными пробками, расположенными эксцентрично [3]. Заметим, что, например, в реакторе ВВЭР-1000 операция перегрузки топлива осуществляется с помощью перегрузочной машины, представляющей собой напольный мостовой кран [1].

В работе построена математическая модель механизма перегрузки ядерного топлива, состоящего из трех вращающихся пробок, которая несколько отличается от математической модели, рассматриваемой в [4]. Предложенная модель реализована с помощью уравнений Лагранжа второго рода. Эта модель является существенно нелинейной и трудна для исследования. В связи с этим в работе [4] был рассмотрен вариант задачи, когда поворотные пробки вращаются последовательно. Для оптимизации поворота одной пробки использовался результат из [4]. Для одновременного разворота двух пробок использовался результат из [5]. В итоге задача была сведена к задаче нелинейного программирования с тремя переменными и геометрическими связями. В этой работе рассматривается случай, когда одновременно могут вращаться большая и средняя пробки. Построен оптимальный алгоритм управления. Заметим, что рассматриваемая задача является вспомогательной для задачи определения очередности перестановки ТВС, которая является маршрутной задачей [2] с нестандартными ограничениями.

### **Математическая модель системы трех пробок с эксцентриситетами**

На рис. 1 приведена схема трех поворотных пробок реактора БН-800. Здесь точка  $O_1$  (центр большой пробки) неподвижна. Система координат  $O_1x_1y_1$  неподвижна.  $O_2$  – точка, неподвижная относительно первой пробки (центр второй пробки),  $O_1x_1y_1$  – система координат, жёстко связанная с первой (большой) пробкой,  $\varphi_1$  – угол поворота её относительно неподвижной системы координат,  $O_2x_2y_2$  – система, жёстко связанная со второй (средней) пробкой,  $\varphi_2$  – угол поворота её относительно подвижной системы  $O_1x_1y_1$ ,  $O_3$  – точка, неподвижная относительно второй пробки,  $O_3x_3y_3$  – система координат, жёстко связанная с

третьей (малой) пробкой,  $\varphi_3$  – угол поворота её относительно подвижной системы  $O_2x_2y_2$  (см. рис. 1),  $C_2, C_3$  – центры масс большой, средней и малой пробок. На пробки действуют управляющие моменты  $u_1, u_2$  и  $u_3$ . Движение механизма описывается в горизонтальной плоскости. Виртуальная работа моментов,  $\delta A = u_1\delta\varphi_1 + u_2\delta\varphi_2 + u_3\delta\varphi_3$  то есть обобщённые силы  $Q_1 = u_1, Q_2 = u_2, Q_3 = u_3$ .

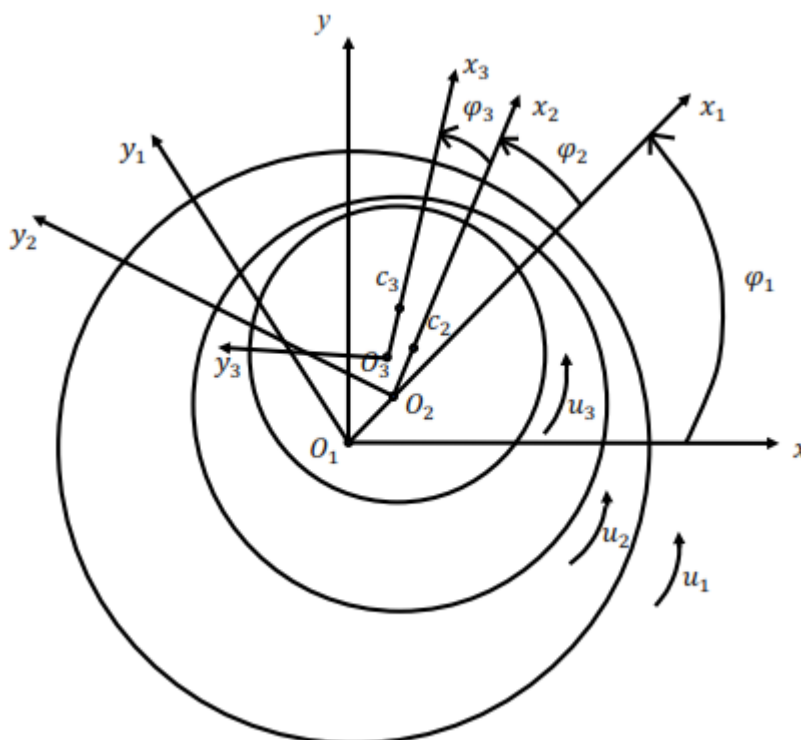


Рисунок 2 – Схема поворотных пробок

Кинетическая энергия механизма определяется суммой кинетических энергий трех пробок:  $T = T_1 + T_2 + T_3$ . Кинетическая энергия большой пробки есть

$$T_1 = \frac{1}{2}J_1\dot{\varphi}_1^2,$$

где  $J_1$  – осевой момент инерции большой пробки относительно вертикальной оси, проходящей через точку  $O_1$ . Кинетическая энергия средней пробки определяется формулой

$$T_2 = \frac{1}{2}m_2v_{0_2}^2 + \frac{1}{2}J_2\omega_2^2 + m_2(\vec{v}_{0_2}, \vec{v}_{c_2}'),$$

где  $m_2$  – масса средней пробки,  $J_2$  – осевой момент инерции средней пробки относительно вертикальной оси, проходящей через точку  $O_2$ ,  $\vec{v}_{c_2}'$  – относительная скорость точки  $C_2$  в системе координат, движущейся поступательно со скоростью  $\vec{v}_{0_2}$  относительно неподвижной системы координат. В результате имеем

$$T_2 = \frac{1}{2} m_2 l_2^2 \dot{\varphi}_1^2 + \frac{1}{2} J_2 (\dot{\varphi}_1 + \dot{\varphi}_2)^2 + m_2 l_2 a_2 \dot{\varphi}_1 (\dot{\varphi}_1 + \dot{\varphi}_2) \cos \varphi_2,$$

где  $l_2 = |\overrightarrow{O_1 O_2}|$ ,  $a_2 = |\overrightarrow{O_2 C_2}|$ . Кинетическая энергия малой пробки определяется формулой

$$T_3 = \frac{1}{2} J_3 (\dot{\varphi}_1 + \dot{\varphi}_2 + \dot{\varphi}_3)^2 + \frac{1}{2} m_3 (l_2^2 \dot{\varphi}_1^2 + l_3^2 (\dot{\varphi}_1 + \dot{\varphi}_2)^2 + 2 l_2 l_3 \dot{\varphi}_1 (\dot{\varphi}_1 + \dot{\varphi}_2) \cos(\varphi_2 + \alpha)) + m_3 a_3 (\dot{\varphi}_1 + \dot{\varphi}_2 + \dot{\varphi}_3) (l_2 \dot{\varphi}_1 \cos(\varphi_2 + \varphi_3) + l_3 (\dot{\varphi}_1 + \dot{\varphi}_2) \cos(\varphi_3 - \alpha)),$$

где  $m_3$  – масса малой пробки,  $J_3$  – осевой момент инерции малой пробки относительно вертикальной оси, проходящей через точку  $O_3$ ,  $l_3 = |\overrightarrow{O_2 O_3}|$ ,  $a_3 = |\overrightarrow{O_3 C_3}|$ ,  $\alpha = \angle C_2 O_2 O_3$ .

Суммарная кинетическая энергия механизма будет следующей

$$T = \frac{1}{2} (J_1 + (m_2 + m_3) l_2^2) \dot{\varphi}_1^2 + \frac{1}{2} (J_2 + m_3 l_3^2) (\dot{\varphi}_1 + \dot{\varphi}_2)^2 + \frac{1}{2} J_3 (\dot{\varphi}_1 + \dot{\varphi}_2 + \dot{\varphi}_3)^2 + (m_2 l_2 a_2 \cos \varphi_2 + m_3 l_2 l_3 \cos(\alpha + \varphi_2)) \dot{\varphi}_1 (\dot{\varphi}_1 + \dot{\varphi}_2) + m_3 l_2 a_3 \cos(\varphi_2 + \varphi_3) \dot{\varphi}_1 (\dot{\varphi}_1 + \dot{\varphi}_2 + \dot{\varphi}_3) + m_3 l_3 a_3 (\dot{\varphi}_1 + \dot{\varphi}_2) (\dot{\varphi}_1 + \dot{\varphi}_2 + \dot{\varphi}_3) \cos(\varphi_3 - \alpha). \quad (1)$$

С помощью (1) составим уравнения Лагранжа 2 рода [6]

$$J_1 \ddot{\varphi}_1 + J_2 (\ddot{\varphi}_1 + \ddot{\varphi}_2) + J_3 (\ddot{\varphi}_1 + \ddot{\varphi}_2 + \ddot{\varphi}_3) + m_2 [l_2^2 \ddot{\varphi}_1 + l_2 a_2 (\cos \varphi_2 (2\ddot{\varphi}_1 + \ddot{\varphi}_2) - \sin \varphi_2 \dot{\varphi}_2 (2\dot{\varphi}_1 + \dot{\varphi}_2))] + m_3 [l_2^2 \ddot{\varphi}_1 + l_3^2 (\ddot{\varphi}_1 + \ddot{\varphi}_2) + l_2 l_3 (\cos(\varphi_2 + \alpha) (2\ddot{\varphi}_1 + \ddot{\varphi}_2) - \sin(\varphi_2 + \alpha) \dot{\varphi}_2 (2\dot{\varphi}_1 + \dot{\varphi}_2)) + l_2 a_3 (\cos(\varphi_2 + \varphi_3) (2\ddot{\varphi}_1 + 2\ddot{\varphi}_2 + \ddot{\varphi}_3) - \sin(\varphi_2 + \varphi_3) (\dot{\varphi}_2 + \dot{\varphi}_3) (2\dot{\varphi}_1 + \dot{\varphi}_2 + \dot{\varphi}_3)) + l_3 a_3 (\cos(\varphi_3 - \alpha) (2\ddot{\varphi}_1 + 2\ddot{\varphi}_2 + \ddot{\varphi}_3) - \sin(\varphi_3 - \alpha) \dot{\varphi}_3 (2\dot{\varphi}_1 + 2\dot{\varphi}_2 + \dot{\varphi}_3))] = u_1 \quad (2)$$

$$J_2 (\ddot{\varphi}_1 + \ddot{\varphi}_2) + J_3 (\ddot{\varphi}_1 + \ddot{\varphi}_2 + \ddot{\varphi}_3) + m_2 l_2 a_2 (\cos \varphi_2 \ddot{\varphi}_1 + \sin \varphi_2 \dot{\varphi}_1^2) + m_3 [l_3^2 (\ddot{\varphi}_1 + \ddot{\varphi}_2) + l_2 l_3 (\cos(\varphi_2 + \alpha) \ddot{\varphi}_1 + \sin(\varphi_2 + \alpha) \dot{\varphi}_1^2) + l_2 a_3 (\cos(\varphi_2 + \varphi_3) \ddot{\varphi}_1 + \sin(\varphi_2 + \varphi_3) \dot{\varphi}_1^2) + l_3 a_3 (\cos(\varphi_3 - \alpha) (2\ddot{\varphi}_1 + 2\ddot{\varphi}_2 + \ddot{\varphi}_3) - \sin(\varphi_3 - \alpha) \dot{\varphi}_3 (2\dot{\varphi}_1 + 2\dot{\varphi}_2 + \dot{\varphi}_3))] = u_2, \quad (3)$$

$$J_3 (\ddot{\varphi}_1 + \ddot{\varphi}_2 + \ddot{\varphi}_3) + m_3 [l_2 a_3 (\cos(\varphi_2 + \varphi_3) \ddot{\varphi}_1 + \sin(\varphi_2 + \varphi_3) \dot{\varphi}_1^2) + l_3 a_3 (\cos(\varphi_3 - \alpha) (\ddot{\varphi}_1 + \ddot{\varphi}_2) + \sin(\varphi_3 - \alpha) (\dot{\varphi}_1 + \dot{\varphi}_2)^2)] = u_3 \quad (4)$$

### Математическая модель вращения большой и средней пробок

Операция перегрузки будет осуществляться следующим образом: сначала будут одновременно разворачиваться большая и средняя пробки (малая пробка при этом замораживается, т.е.  $\varphi_3 = const$ ).

Согласно (2) и (3)

$$J_1\ddot{\varphi}_1 + J_2(\ddot{\varphi}_1 + \ddot{\varphi}_2) + J_3(\ddot{\varphi}_1 + \ddot{\varphi}_2) + m_2[l_2^2\ddot{\varphi}_1 + l_2a_2(\cos\varphi_2(2\ddot{\varphi}_1 + \ddot{\varphi}_2) - \sin\varphi_2\dot{\varphi}_2(2\dot{\varphi}_1 + \dot{\varphi}_2))] + m_3[l_2^2\ddot{\varphi}_1 + l_3^2(\ddot{\varphi}_1 + \ddot{\varphi}_2) + l_2l_3(\cos(\varphi_2 + \alpha)(2\dot{\varphi}_1 + \dot{\varphi}_2) - \sin(\varphi_2 + \alpha)\dot{\varphi}_2(2\dot{\varphi}_1 + \dot{\varphi}_2)) + l_2a_3(\cos\varphi_2(2\ddot{\varphi}_1 + \ddot{\varphi}_2) - \sin\varphi_2\dot{\varphi}_2)(2\dot{\varphi}_1 + \dot{\varphi}_2) + l_3a_3\cos\alpha(2\ddot{\varphi}_1 + 2\ddot{\varphi}_2)] = u_1 \quad (5)$$

$$J_2(\ddot{\varphi}_1 + \ddot{\varphi}_2) + J_3(\ddot{\varphi}_1 + \ddot{\varphi}_2) + m_2l_2a_2(\cos\varphi_2\ddot{\varphi}_1 + \sin\varphi_2\dot{\varphi}_1^2) + m_3[l_3^2(\ddot{\varphi}_1 + \ddot{\varphi}_2) + l_2l_3(\cos(\varphi_2 + \alpha)\ddot{\varphi}_1 + \sin(\varphi_2 + \alpha)\dot{\varphi}_1^2) + l_2a_3(\cos\varphi_2\ddot{\varphi}_1 + \sin\varphi_2\dot{\varphi}_1^2) + l_3a_3\cos\alpha(2\ddot{\varphi}_1 + 2\ddot{\varphi}_2)] = u_2 \quad (6)$$

Далее будем полагать, что

$$\alpha = \pi, \quad l_3 = a_3 + \frac{m_2}{m_3}a_2. \quad (7)$$

При сделанных предположениях (7) система дифференциальных уравнений (5), (6) примет вид:

$$[J_1 + J_2 + J_3 + m_2l_2^2 + m_3(l_2^2 + l_3^2)]\ddot{\varphi}_1 + [J_2 + J_3 + m_3l_3^2]\ddot{\varphi}_2 = u_1,$$

$$[J_2 + J_3 + m_3l_3^2](\ddot{\varphi}_1 + \ddot{\varphi}_2) = u_2.$$

Разрешим эту систему относительно  $\ddot{\varphi}_1$  и  $\ddot{\varphi}_2$ . В результате получим

$$\ddot{\varphi}_1 = q(u_1 - u_2), \quad (8)$$

$$\ddot{\varphi}_2 = -qu_1 + (q + p)u_2, \quad (9)$$

где

$$p = \frac{1}{J_2 + J_3 + m_3(l_3^2 - 2l_2a_3)}, \quad q = \frac{1}{J_1 + (m_2 + m_3)l_2^2}.$$

### Оптимизация времени разворота трех пробок

Далее будем рассматривать задачу о перемещении захвата сначала с помощью вращения большой и средней пробок, а затем, одной малой пробки. Предположим, что в заключительный момент захват должен находиться в точке  $Q_f$  с координатами  $x^f, y^f$ . В связи с этим, в момент завершения вращения большой и малой пробок  $t_l$  и начала вращения малой пробки, центр малой пробки  $O_3$  должен находиться на окружности радиуса  $R_3$  с центром в точке  $x^f, y^f$ , т.е. на окружности

$$(x - x^f)^2 + (y - y^f)^2 = R_3^2 \quad (10)$$

в некоторой точке  $\bar{Q}$  с координатами  $\bar{x}, \bar{y}$ .

Не трудно показать, что декартовы координаты центра малой пробки связаны с угловыми координатами следующим образом:

$$x(O_3) = l_2 \cos\varphi_1 - l_3 \cos(\varphi_1 + \varphi_2), \quad (11)$$

$$y(O_3) = l_2 \sin \varphi_1 - l_3 \sin (\varphi_1 + \varphi_2). \quad (12)$$

Ниже на рис. 2 показаны положения расположения геометрических центров и центров масс большой, средней и малой пробок.

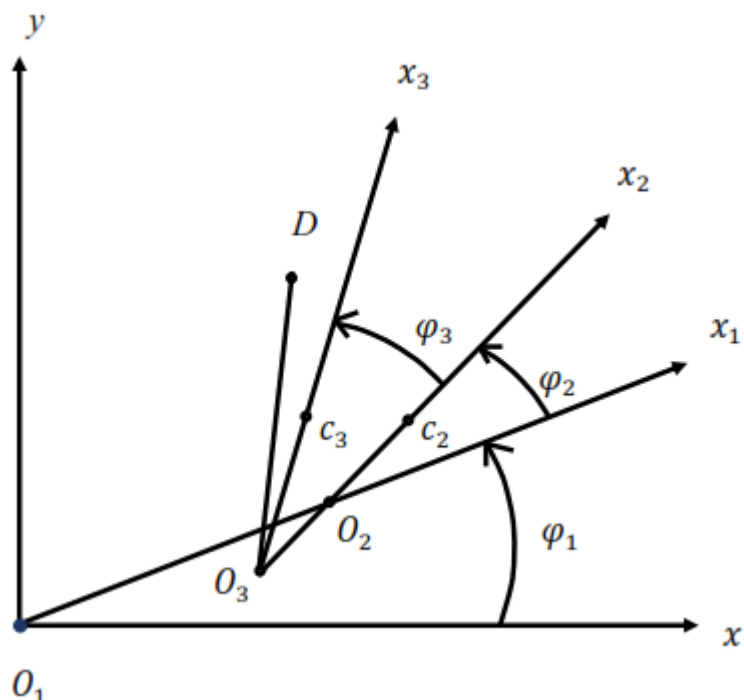


Рисунок 2 – Взаимное расположение центров масс и геометрических центров вращающихся пробок

Обозначим угол между прямой  $O_1O_3$  и осью  $x$  через  $\varphi_1^*$ . Для этого угла справедлива формула

$$\varphi_1^* = \arccos \frac{x(O_3)}{\sqrt{x^2(O_3) + y^2(O_3)}} \operatorname{sign} y(O_3).$$

Согласно теореме косинусов

$$\cos LO_3O_1O_2 = \frac{l_3^2 - l_2^2 - x^2(O_3) - y^2(O_3)}{2l_2\sqrt{x^2(O_3) + y^2(O_3)}},$$

и, соответственно,

$$LO_3O_1O_2 = \arccos \frac{l_3^2 - l_2^2 - x^2(O_3) - y^2(O_3)}{2l_2\sqrt{x^2(O_3) + y^2(O_3)}}.$$

Тогда в случае а) (смотри рисунок 3а)

$$\varphi_1^a = \varphi_1^* + LO_3O_1O_2,$$

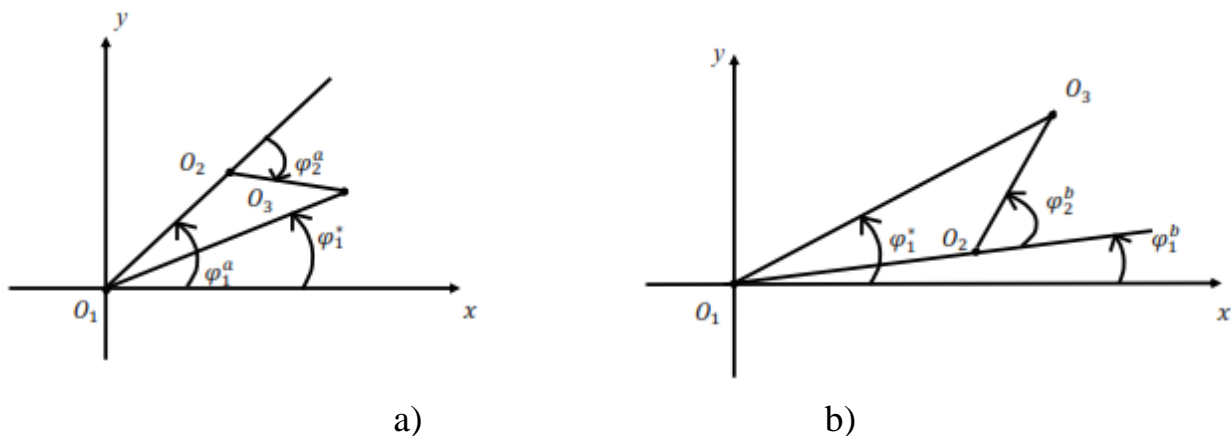


Рисунок 3 – возможные варианты для углов  $\varphi_1^a, \varphi_1^b, \varphi_2^a, \varphi_2^b$

и в случае b)

$$\varphi_1^b = \varphi_1^* - LO_3O_1O_2.$$

Для угла  $LO_3O_2O_1$  справедливо представление

$$\cos LO_3O_2O_1 = \frac{x^2(O_3) + y^2(O_3) - l_3^2 - l_2^2}{2l_2l_3},$$

Для углов  $\varphi_2^a$  и  $\varphi_2^b$  имеют место формулы

$$\varphi_2^a = LO_3O_2O_1 - \pi, \quad (13)$$

$$\varphi_2^b = \pi - LO_3O_2O_1. \quad (14)$$

Формулы (13)-(14) позволяют по известным декартовым координатам точки  $O_3$  найти соответствующие значения углов  $\varphi_1$  и  $\varphi_2$  (два варианта).

Заменим окружность (10) на дискретное множество (общее число точек на окружности –  $l$ ). В дальнейшем по этому множеству мы будем осуществлять одномерную оптимизацию.

$$x_k = x^f + R_3 \cos k \frac{2\pi}{l} \quad (k = 0, 1, \dots, l - 1)$$

$$y_k = y^f + R_3 \sin k \frac{2\pi}{l} \quad (15)$$

Для точки  $(x_k, y_k)$  определяем пары углов  $(\varphi_{1k}^a, \varphi_{2k}^a)$ ,  $(\varphi_{1k}^b, \varphi_{2k}^b)$  по формулам (11), (12), (13), (14). Согласно [5] оптимальное время перехода из позиции  $(\varphi_{10}, \varphi_{20})$  в позицию  $(\varphi_{1k}^a, \varphi_{2k}^a)$  (или  $(\varphi_{1k}^b, \varphi_{2k}^b)$ ) определяется формулой

$$\vartheta_1 = 2 \sqrt{\frac{|q+p| |\varphi_{1k} - \varphi_{10} + \frac{q}{q-p} (\varphi_{2k} - \varphi_{20})|}{\mu_1 q p}}, \quad (16)$$

если

$$|q + p| |\varphi_{1k} - \varphi_{10} + \frac{q}{q-p} (\varphi_{2k} - \varphi_{20})| \geq \frac{\mu_1}{\mu_2} q |\varphi_{1k} - \varphi_{10} + \varphi_{2k} - \varphi_{20}|, \quad (17)$$

и формулой

$$\vartheta_2 = 2 \sqrt{\frac{|\varphi_{1k} - \varphi_{10} + \varphi_{2k} - \varphi_{20}|}{\mu_2 p}}, \quad (18)$$

если

$$|q + p| |\varphi_{1k} - \varphi_{10} + \frac{q}{q-p} (\varphi_{2k} - \varphi_{20})| \leq \frac{\mu_1}{\mu_2} q |\varphi_{1k} - \varphi_{10} + \varphi_{2k} - \varphi_{20}|. \quad (19)$$

Определим на какой угол нужно развернуть малую пробку, чтобы привести захват в точку  $Z^f$ , имеющую координаты  $(x^f, y^f)$ . Этот угол будем обозначать  $\Delta\varphi_3^f$ . Согласно (11), (12)

$$\overrightarrow{O_2 O_3} = -l_3 (\cos(\varphi_1 + \varphi_2); \sin(\varphi_1 + \varphi_2)).$$

Очевидно, что

$$\overrightarrow{O_3 Z^f} = (x^f - l_2 \cos \varphi_1 + l_3 \cos(\varphi_1 + \varphi_2); y^f - l_2 \sin \varphi_1 + l_3 \sin(\varphi_1 + \varphi_2)).$$

Тогда

$$\begin{aligned} \cos L D O_3 Z^f &= -\frac{l_3}{R_3^2} (\cos(\varphi_1 + \varphi_2) (x^f - l_2 \cos \varphi_1 + l_3 \cos(\varphi_1 + \varphi_2)) + \\ &+ \sin(\varphi_1 + \varphi_2) (y^f - l_2 \sin \varphi_1 + l_3 \sin(\varphi_1 + \varphi_2))) = S(x^f, y^f, \varphi_1, \varphi_2). \end{aligned}$$

Введем обозначения:

$$\alpha_1 = |\arccos S(x^f, y^f, \varphi_1, \varphi_2) + \varphi_{30} + \varphi_3^*|$$

и

$$\alpha_2 = |2\pi - \arccos S(x^f, y^f, \varphi_1, \varphi_2) - \varphi_{30} - \varphi_3^*|.$$

Тогда  $|L D O_3 Z^f| = \min\{\alpha_1, \alpha_2\}$ . Очевидно, что

$$|\Delta\varphi_3^f| = |L D O_3 Z^f| = \min\{\alpha_1, \alpha_2\} \quad (20)$$

и

$$0 \leq |\Delta\varphi_3^f| \leq \pi.$$

Согласно (4) уравнение движения малой пробки при фиксированных большой и средней пробках будет иметь вид

$$J_3 \ddot{\varphi}_3 = u_3.$$

В этом случае, как показано в [4,5], оптимальное время разворота малой пробки на угол  $\Delta\varphi_3^f$  будет равно



$$\vartheta_3 = 2 \sqrt{\frac{J_3 |\Delta\varphi_3^f|}{\mu_3}}. \quad (21)$$

В результате для каждой точки, полученной при дискретизации окружности (10) (см. (15)), суммарное время разворота трех пробок будет определяться формулой

$$\vartheta = \vartheta_1^* + \vartheta_3, \quad (22)$$

где  $\vartheta_1^* = \vartheta_1$  если выполняется условие (17) и  $\vartheta_1^* = \vartheta_2$ , если выполняется условие (19), величины  $\vartheta_1, \vartheta_2, \vartheta_3$  задаются формулами (16), (18) и (21). Далее суммарное время на разворот трех пробок  $\vartheta$  минимизируется по всем точкам из формулы (15).

### Численный эксперимент

Задача вычисления минимального значения величины (22) на окружности (10) после ее дискретизации (15) решается простым перебором. Для каждой точки из (15) вычисляется значение (22) и из этих значений выбирается минимальное.

На графике 4 а) представлен результат оптимизации суммарного времени разворота двух пробок в предположении, что начальное условие задается угловыми координатами  $\varphi_1^0 = 80^\circ, \varphi_2^0 = 10^\circ, \varphi_3^0 = 10^\circ$ . Конечная точка  $Q^f$  имеет координаты (-0.13; -0.79). На оси абсцисс откладывается номер точки на окружности (15). На оси ординат откладывается суммарное время разворота всех трех пробок. Дискретизация окружности (15) производилась с шагом 0,33 радиан.

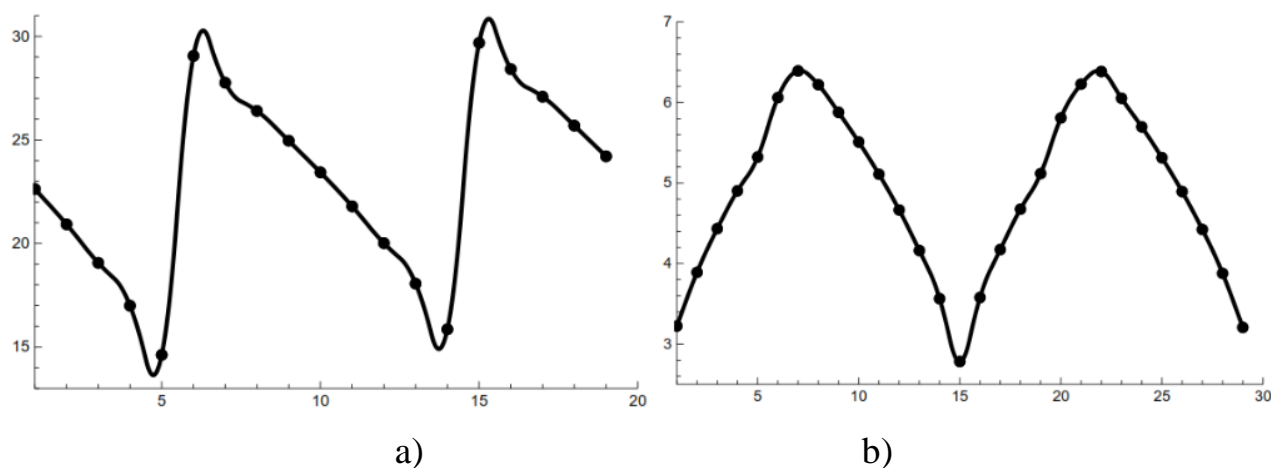


Рисунок 4 – вычислительный эксперимент

График 4 б) представляет вариант оптимизации суммарного времени разворота трех пробок при начальных условиях  $\varphi_1^0 = 10^\circ, \varphi_2^0 = 20^\circ, \varphi_3^0 = 20^\circ$ . У конечной точки  $Q^f$  – координаты (-0.07; -0.79). Дискретизация окружности (15) в этом случае проводилась с шагом 0,21 радиан.

## **Заключение**

В статье предложена математическая модель перегрузочного устройства для реактора на быстрых нейтронах БН-800, в которой не предполагается совпадение центров масс и геометрических центров вращающихся пробок машины перегрузки ядерного топлива. При предположении, что одновременно могут вращаться лишь большая и средняя пробки, предложен алгоритм, обеспечивающий наведение захвата механизма перегрузки на заданную точку за минимальное время. Применение такого алгоритма будет способствовать сокращению времени, требуемого на перегрузку ядерного топлива, и приведет к сокращению времени остановки энергоблока АЭС.

## **Благодарность**

Работа выполнена при финансовой поддержке Министерства науки и высшего образования РФ, Государственный контракт № 075-03-2020-582/4.

## ***Библиографический список***

1. Ташлыков О. Л. Эксплуатация и ремонт ядерных паропроизводящих установок АЭС. В 2 кн. Кн. 1 / О. Л. Ташлыков, А. Г. Кузнецов, О. Н. Арефьев. – Москва : Энергоатомиздат, 1995. – 256 с. – ISBN 5-283-03609-X.
2. Коробкин В. В. Методы маршрутизации и их приложения в задачах повышения безопасности и эффективности эксплуатации атомных станций / В. В. Коробкин, А. Н. Сесекин, О. Л. Ташлыков, А. Г. Ченцов. – Москва : Новые технологии, 2012. – 234 с. – ISBN 978-5-94694-027-6.
3. Бельтюков А. И. Атомные электростанции с реакторами на быстрых нейтронах с натриевым теплоносителем : учеб. пособие / А. И. Бельтюков, А. И. Карпенко, С. А. Полуяктов [и др.]. – Екатеринбург : УрФУ, 2013. – 548 с.
4. Sequential optimal control of the nuclear fuel reload mechanism / Yu. F. Dolgii, A. Seseikin, O. L. Tashlykov, K. T. Tran. – DOI 10.1063/1.5133551 // AIP Conference Proceeding. – 2019. – Vol. 2172. – P. 070015.
5. Optimal Control of the System of Coupled Cylinders / Yu.F. Dolgii, A. A. Petunin, A. N. Seseikin, O. L. Tashlykov. – DOI 10.1063/1.5082025 // AIP Conference Proceeding. – 2018. – Vol. 2048. – P. 020007.
6. Appel' P. Теоретическая механика. Т. 1 / П. Appel'. – Москва : ФИЗМАТГИЗ, 1960. – 515 с.